

# Instituto Federal do Sul de Minas Gerais

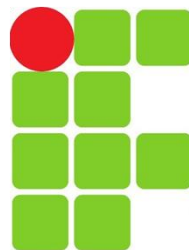
## Projeto e Análise de Algoritmos

### (Grafos)

Aula 08 – Caminho Mínimo: Bellman-Ford

Prof. Humberto César Brandão de Oliveira

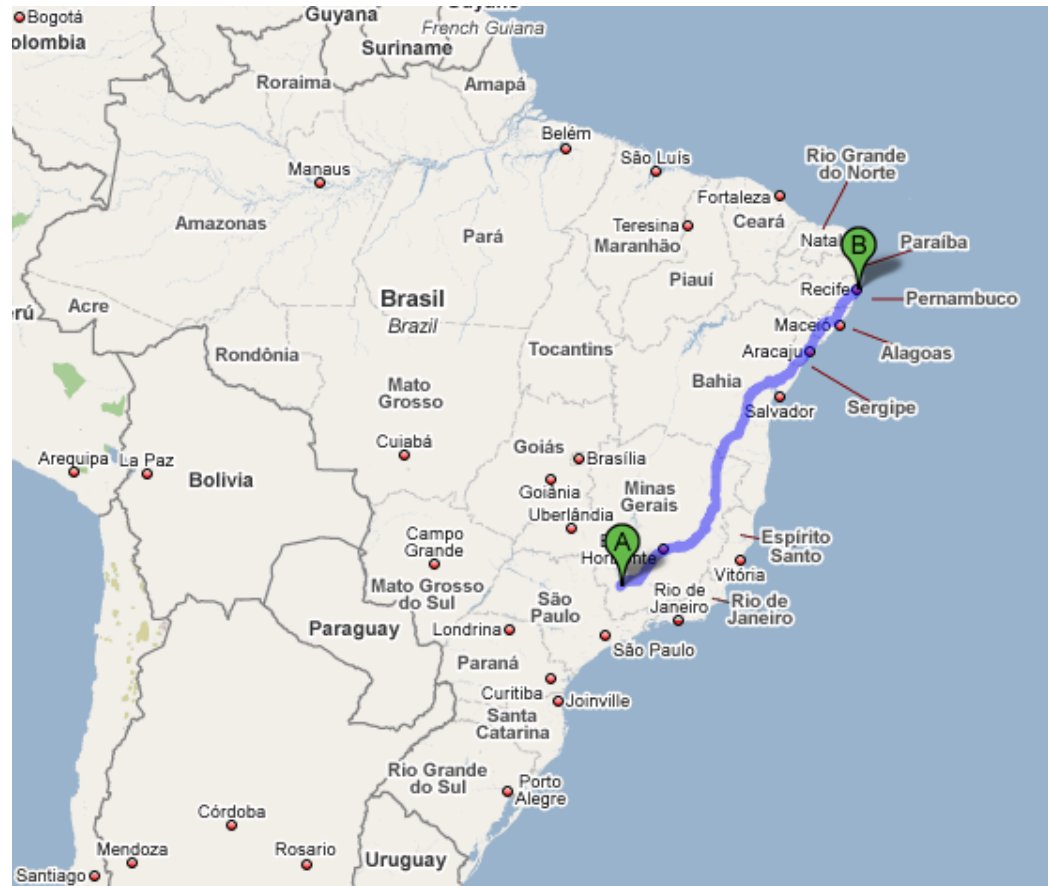
Prof. Douglas Castilho



INSTITUTO FEDERAL DE  
EDUCAÇÃO, CIÊNCIA E TECNOLOGIA  
SUL DE MINAS GERAIS

# Caminho Mínimo

- Suponha que você deseja encontrar um caminho mais curto de Alfenas/MG para Recife/PE;

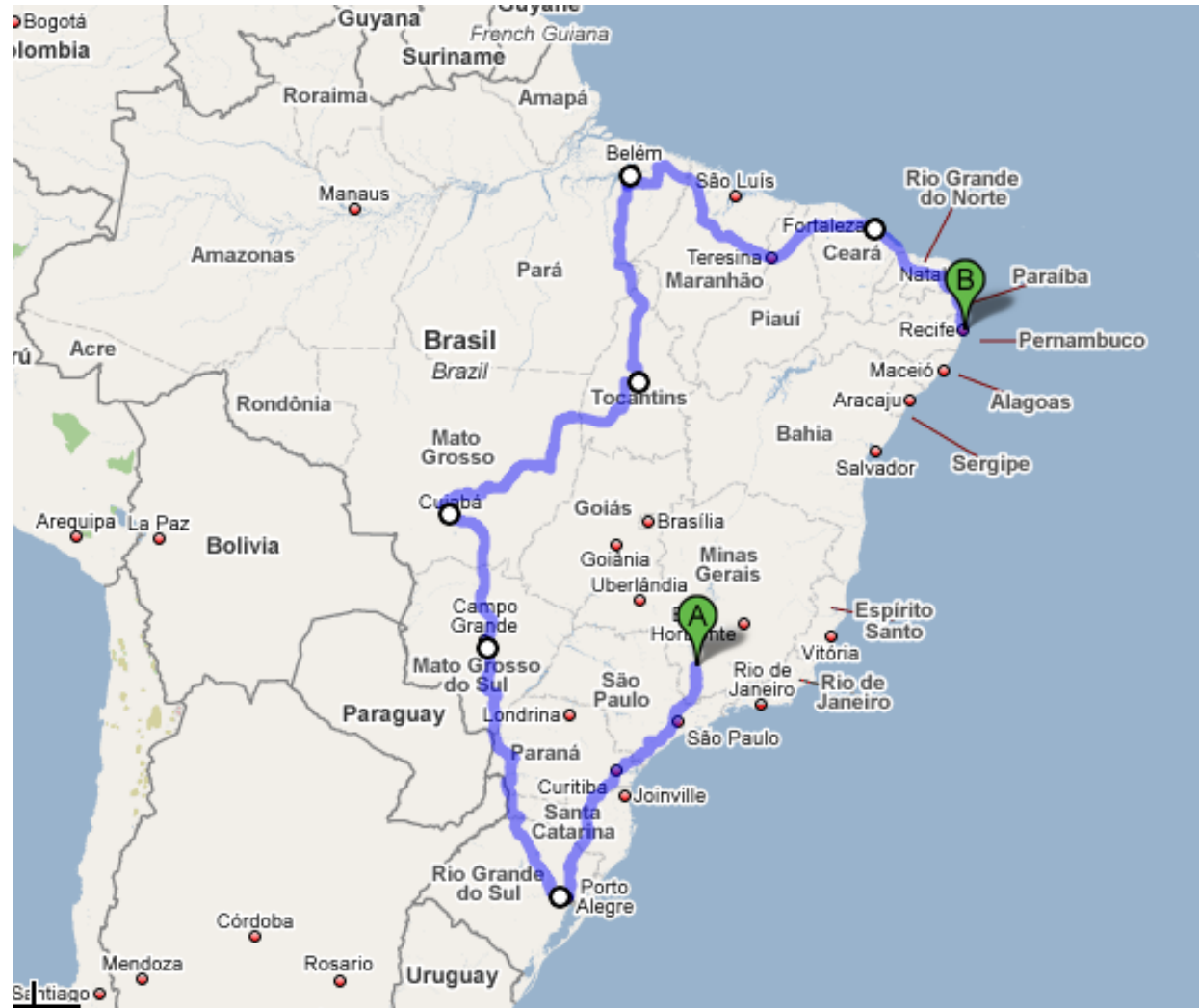


# Caminhos mais curtos de origem única

- A princípio, podemos imaginar um algoritmo que enumera todas as possíveis rotas;
  - Se você conhece TODAS as possibilidades a tarefa é apenas computar a distância de cada uma delas e **escolher aquela que oferece o menor trajeto**.
    - O problema é computável;
    - Pode ser resolvido por uma máquina de Turing ou máquina equivalente.
  - Obviamente, tomando o cuidado de **não considerar trajetos com ciclos**;

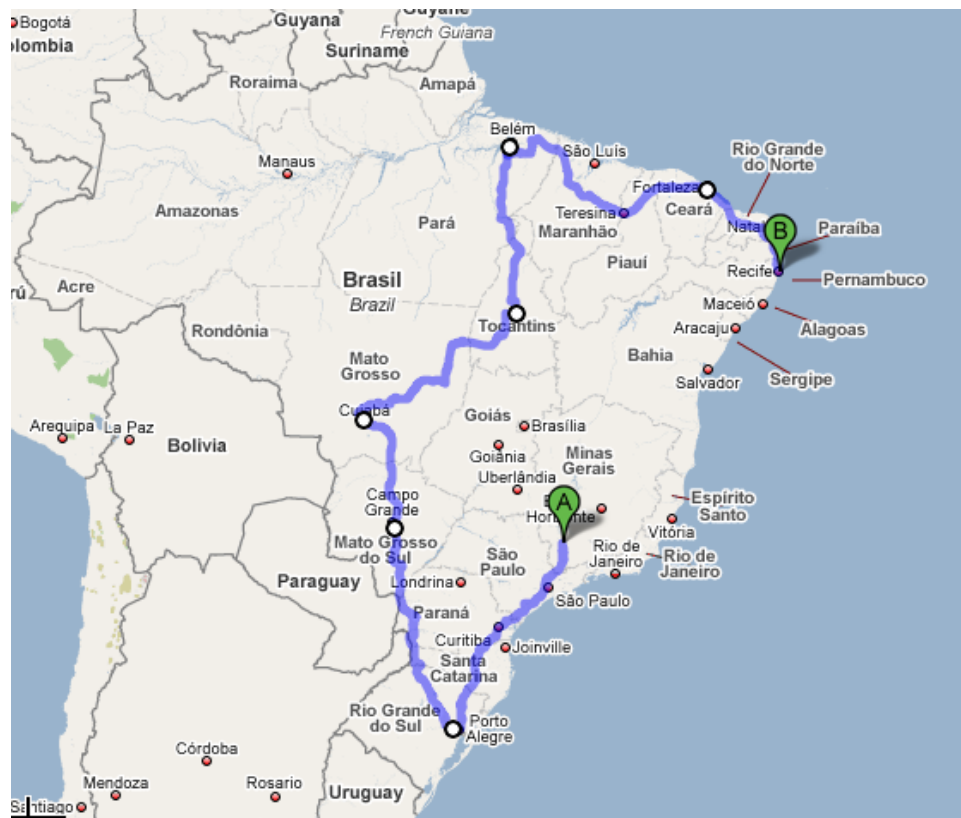
# Caminhos mais curtos de origem única

- O problema da abordagem da **enumeração** é que **haverá milhões/bilhões de possibilidades**;
- Sendo que a maioria não vale a pena considerar...
- Veja exemplo na figura...



# Caminhos mais curtos de origem única

- Podemos realizar obviamente uma enumeração implícita.
- Se a minha rota incompleta atual já possui distância maior que a minha melhor rota completa até então conhecida, então, não precisa continuar com o caminho incompleto atual.
  - Política de corte em uma busca em profundidade.



# Caminhos mais curtos de origem única

- Para o problema dos caminhos mais curtos, temos um grafo orientado ponderado

$$G = (V, A)$$

- Com função de peso

$$w: A \rightarrow \mathbb{R}$$

- Mapeando as arestas em valores reais.

# Caminhos mais curtos de origem única

- O peso do caminho  $p$

$$p = \langle v_0, v_1, v_2, \dots, v_k \rangle$$

- é o somatório dos pesos de suas arestas

$$w(p) = \sum_{i=1}^k w(v_{i-1}, v_i)$$

# Caminhos mais curtos de origem única

- Definimos peso do caminho mais curto de  $u$  até  $v$  como:

$$\delta(u, v) = \begin{cases} \min \{ w(p) : u \xrightarrow{p} v \}, & \text{se existe caminho de } u \text{ até } v \\ \infty, & \text{caso contrário} \end{cases}$$

- Assim, um **caminho mais curto** de  $u$  para  $v$  é definido como qualquer caminho  $p$  onde

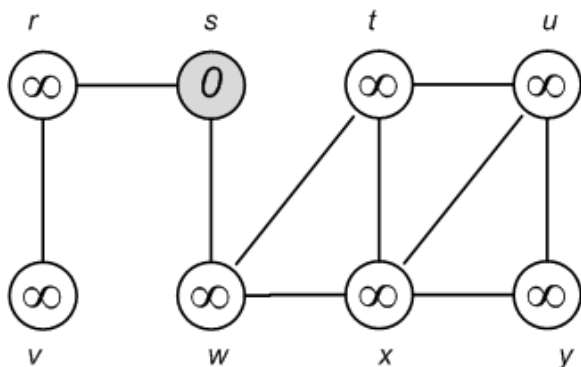
$$w(p) = \delta(u, v)$$



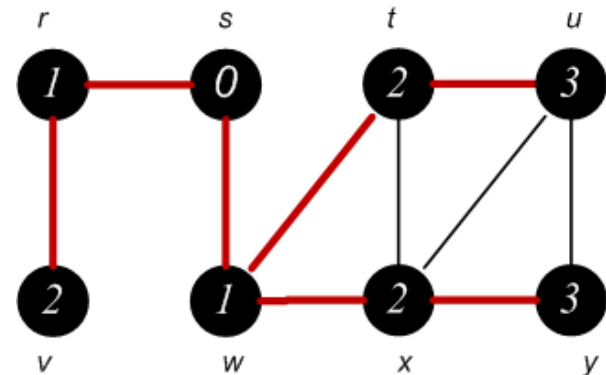
# Caminhos mais curtos de origem única

- Relembrando...

- O algoritmo de busca em largura (BFS) é um algoritmo que calcula caminhos mais curtos em grafos não ponderados...



Q



Q

# Caminhos mais curtos de origem única

- Variantes do Problema
  - Caminhos mais curtos de origem única;
  - Caminhos mais curtos de destino único;
  - Caminho mais curto de um único par;
  - Caminhos mais curtos de todos para todos;

# Sub-estrutura ótima

A series of horizontal lines in teal and light blue colors, with varying lengths and offsets, creating a modern, layered effect across the middle of the slide.

# Caminhos mais curtos de origem única

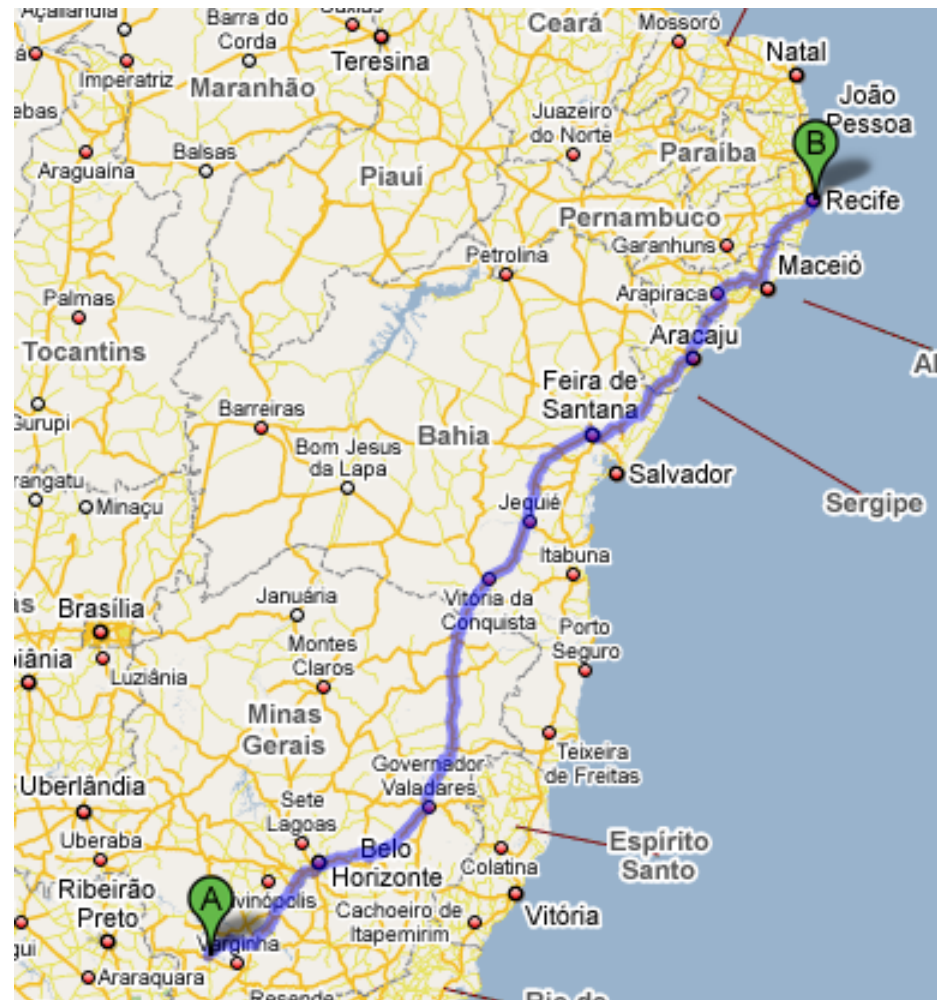
- Sub-estrutura ótima de um caminho mais curto
  - Serve de base para todos os algoritmos exatos que calculam as variantes do caminho mais curto;
  - Seja  $p = \langle v_1, v_2, \dots, v_k \rangle$  um caminho mais curto de  $v_1$  para  $v_k$ ;
    - Para quaisquer  $i$  e  $j$  tais que  $1 \leq i \leq j \leq k$ , e seja  $p_{ij} = \langle v_i, v_{i+1}, \dots, v_j \rangle$  o subcaminho  $p'$  desde o vértice  $v_i$  até  $v_j$ .
      - Então  $p_{ij}$  é um caminho mais curto de  $v_i$  para  $v_j$ .

# Caminhos mais curtos de origem única

- Subestrutura ótima de um caminho mais curto

Sub-caminho de Aracaju para Maceió é ótimo;

Sub-caminho de Maceió para Recife também é ótimo.



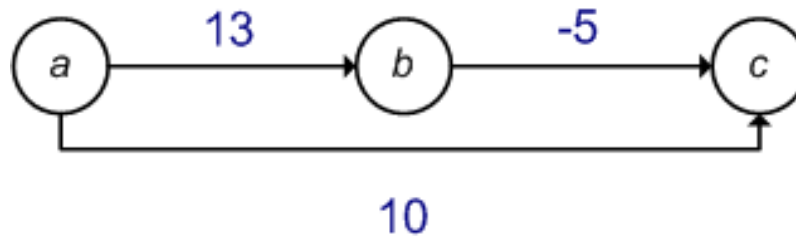
# Arestas de peso negativo em um Algoritmo de Caminho Mínimo

A series of horizontal lines in teal and light blue colors, with varying lengths and offsets, creating a modern, layered effect.

# Caminhos mais curtos de origem única

- Arestas de peso negativo

- Grafos podem ter arestas de peso negativo;
- Qual é o custo do menor caminho de  $a$  até  $c$ ?

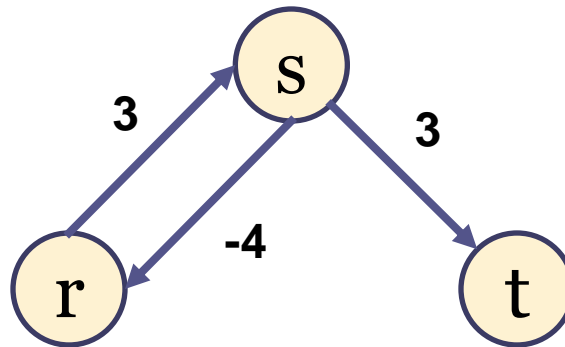


- Você visualiza alguma dificuldade envolvendo arestas de pesos negativos?

# Caminhos mais curtos de origem única

- Arestas de peso negativo

- Se existe um ciclo de peso negativo acessível a partir da origem  $s$ , os pesos dos caminhos mais curtos perdem a referencia;
- Sempre será possível encontrar um caminho mais curto de peso menor que o já encontrado;





# Caminhos mais curtos de origem única

- Arestas de peso negativo

- Se existe um ciclo de peso negativo em algum caminho desde  $s$  até  $v$ , definimos

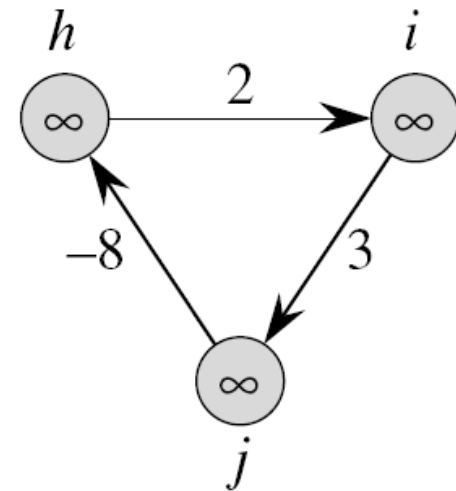
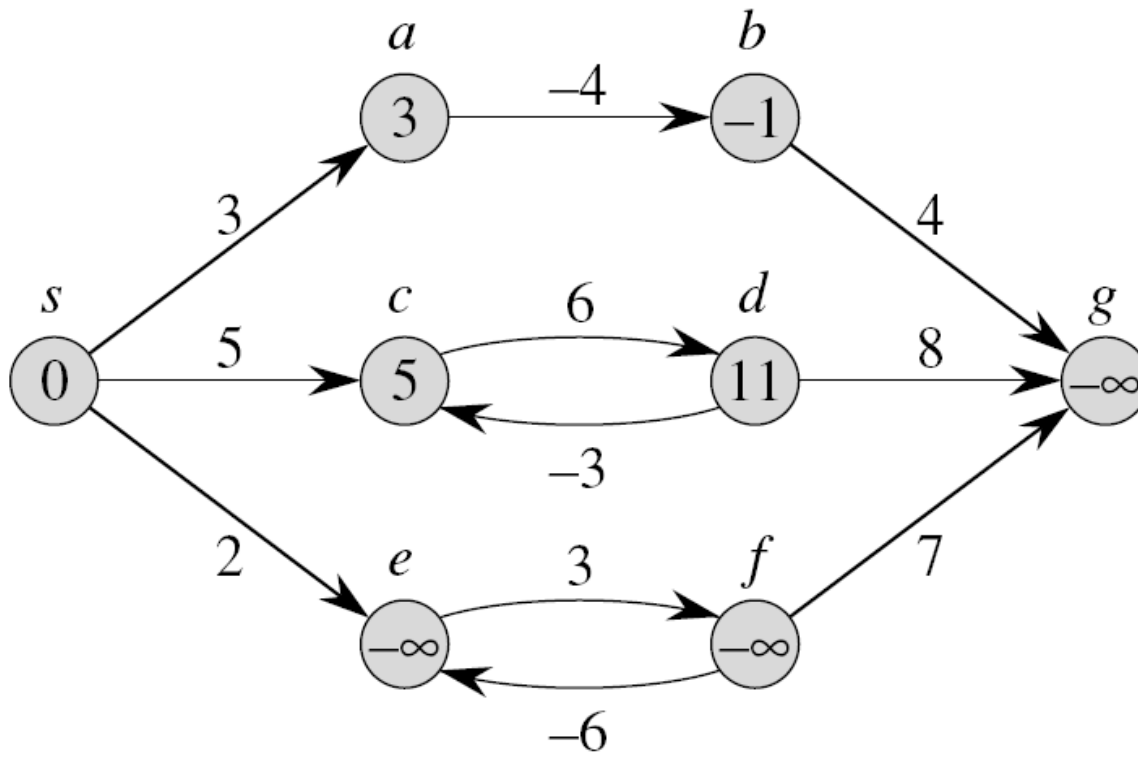
$$\delta(s, v) = -\infty$$

- Relembrando...

$$\delta(u, v) = \begin{cases} \min\{ w(p) : u \xrightarrow{p} v \}, & \text{se existe caminho de } u \text{ até } v \\ \infty, & \text{caso contrário} \end{cases}$$

# Caminhos mais curtos de origem única

- Arestas de peso negativo



# Caminhos mais curtos de origem única

- Arestas de peso negativo
  - O algoritmo de Dijkstra **assume** que todos os pesos de arestas no grafo de entrada são não negativos;
    - Ideal para aplicação em mapas rodoviários;
    - Algoritmo mais aplicado na prática em sistemas comerciais;
  - O algoritmo de Bellman-Ford permite a existência de arestas de peso negativo, e produz a resposta correta;
    - *Não entra em loop infinito.*

# Caminhos mais curtos de origem única

- Ciclos
  - Como vimos, caminhos mais curtos não podem conter ciclos de peso negativo;
  - Mas eles podem conter ciclo de peso positivo?

# Caminhos mais curtos de origem única

- Ciclos
  - Como vimos, caminhos mais curtos não podem conter ciclos de peso negativo;
  - Mas eles podem conter ciclo de peso positivo?
  - E ciclo de peso zero?

# Caminhos mais curtos de origem única

- Representação de caminhos mais curtos
  - Assim como na busca em largura (BFS) iremos utilizar os vetores  $d$  e  $\pi$  para recuperar caminhos após a aplicação dos algoritmos;
  - Relembrando:

$$\pi[u] = \begin{cases} \text{pai do vértice } u, \text{ se } u \text{ é alcançável;} \\ \text{NULL, em caso contrário.} \end{cases}$$

$$d[u] = \begin{cases} \delta(s, u), \text{ se } u \text{ é alcançável;} \\ \infty, \text{ em caso contrário.} \end{cases}$$

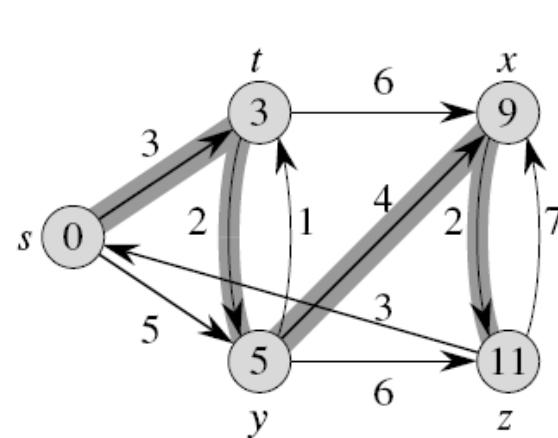
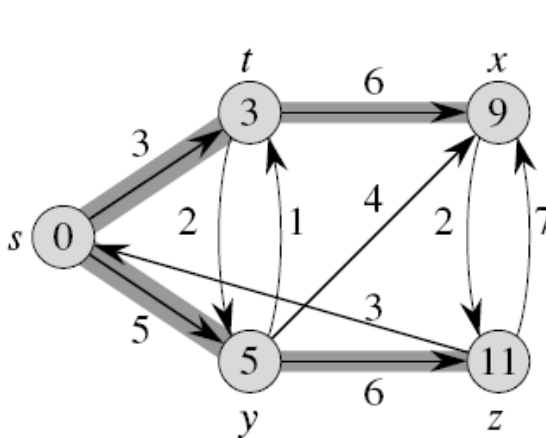
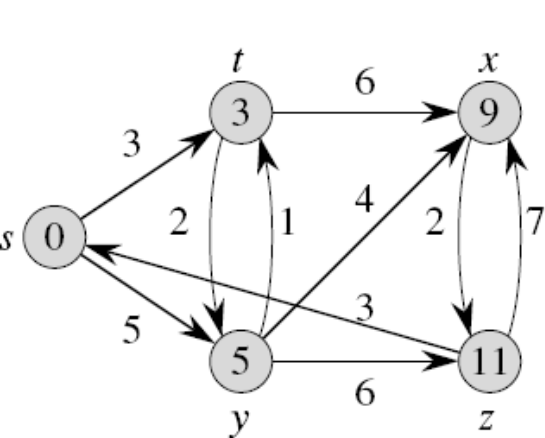
# Caminhos mais curtos de origem única

- Árvore de caminhos mais curtos

$$G' = (V', A')$$

$$V' \subseteq V \text{ e } A' \subseteq A$$

- $V'$  é o conjunto de vértices acessíveis a partir de  $s$  no grafo;
- $G'$  forma uma árvore enraizada com raiz  $s$ ;
- Para todo vértice do grafo, o único caminho simples desde  $s$  até  $v$  em  $G'$  é um caminho mais curto desde  $s$  até  $v$  em  $G$ .



# Caminhos mais curtos de origem única

- Inicialização dos vetores

- Os algoritmos que veremos para esta classe de problemas usam um método para inicializar os vetores auxiliares:

INICIALIZA( $G = (V, A), s$ )

*para cada*  $v \in V$

$d[v] = \infty$

$\pi[v] = NULL$

*fim para*

$d[s] = 0$

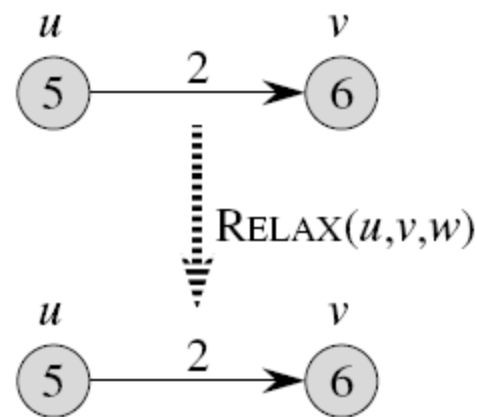
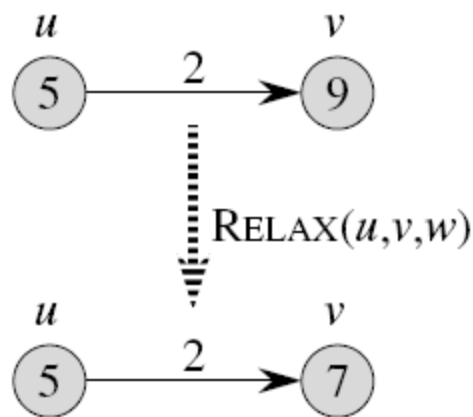
*fim*



# Caminhos mais curtos de origem única

- Técnica do relaxamento

- “O processo de relaxar uma aresta  $(u,v)$  consiste em testar se podemos melhorar o caminho mais curto para  $v$  encontrado até agora pela passagem de  $u$  e, neste caso, atualizar  $d[v]$  e  $\pi[v]$ .”



# Caminhos mais curtos de origem única

RELAXA( $u, v, w$ )

- Técnica do relaxamento

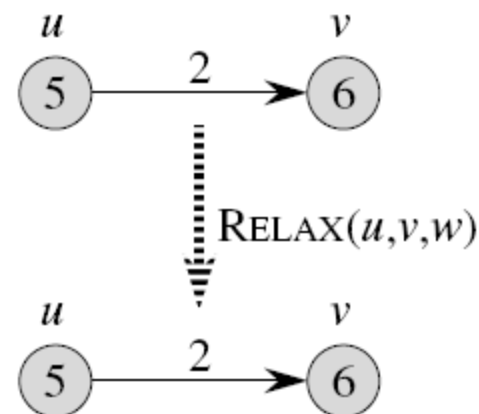
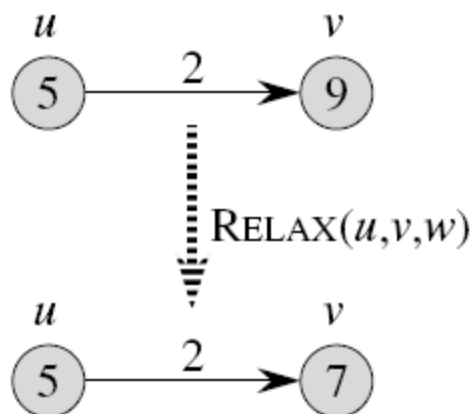
*se*  $d[v] > (d[u] + w(u, v))$  *então*

$d[v] \leftarrow d[u] + w(u, v)$

$\pi[v] = u$

*fim se*

*fim*



# Algoritmo de Bellman-Ford

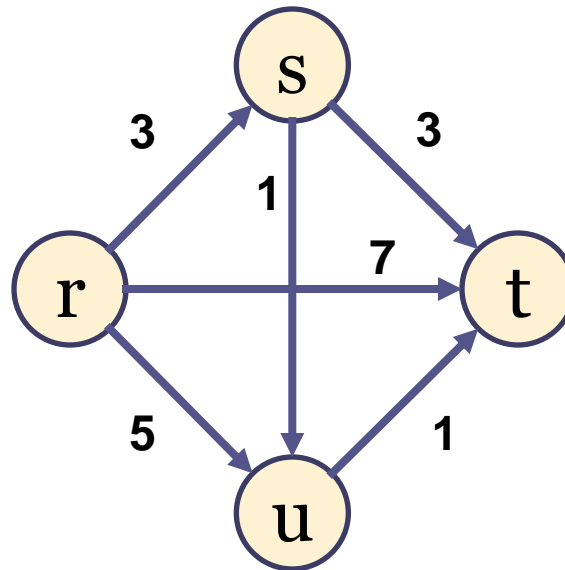
A decorative graphic consisting of several horizontal lines of varying lengths and colors (teal, light blue, and white) extending from the left edge of the slide towards the right, positioned below the title.

# Algoritmo de Bellman-Ford

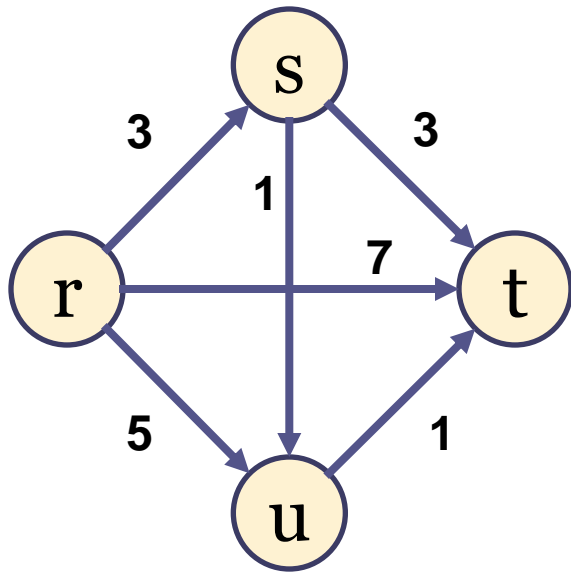
- Resolve o problema de **caminhos** mais curtos de uma única origem;
- São permitidas arestas com peso negativo (resolve o caso mais geral);
- Retorna verdadeiro se não existe ciclo negativo, e falso em caso contrário;

# Algoritmo de Bellman-Ford

- Vamos encontrar os caminhos mais curtos de  $r$  para todos os outros vértices do seguinte grafo:



# Algoritmo de Bellman-Ford



INICIALIZA( $G = (V, A), s$ )

*para cada*  $v \in V$

$d[v] = \infty$

$\pi[v] = \text{NULL}$

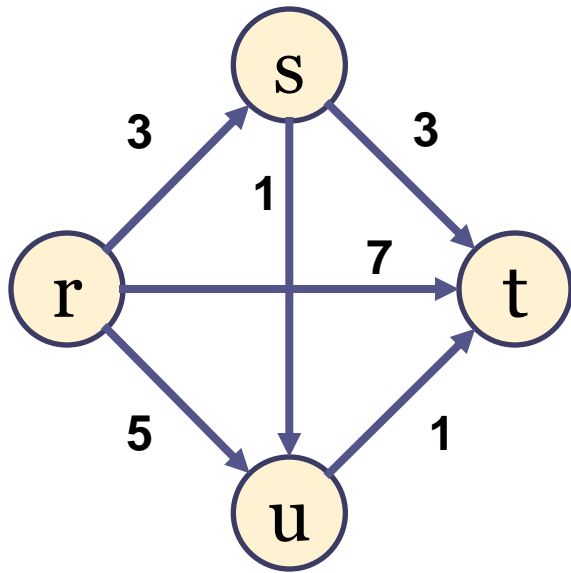
*fim para*

$d[s] = 0$

*fim*

vértice	r	s	t	u
d	0	$\infty$	$\infty$	$\infty$
$\pi$	NULL	NULL	NULL	NULL

# Algoritmo de Bellman-Ford



variável	valor
$i$	1

vértice	r	s	t	u
$d$	0	$\infty$	$\infty$	$\infty$
$\pi$	NULL	NULL	NULL	NULL

*BELLMAN – FORD*( $G = (V, A), w, s$ )

*INICIALIZA*( $G, s$ )

→ *para*  $i \leftarrow 1$  até  $|V| - 1$

*para cada aresta*  $(u, v) \in A$

*RELAXA*( $u, v, w$ )

*fim para*

*fim para*

*para cada aresta*  $(u, v) \in A$

*se*  $d[v] > d[u] + w(u, v)$

*retorna falso*

*fim se*

*fim para*

*retorna verdadeiro*

*fim*

# Algoritmo de Bellman-Ford

$(s, t)$

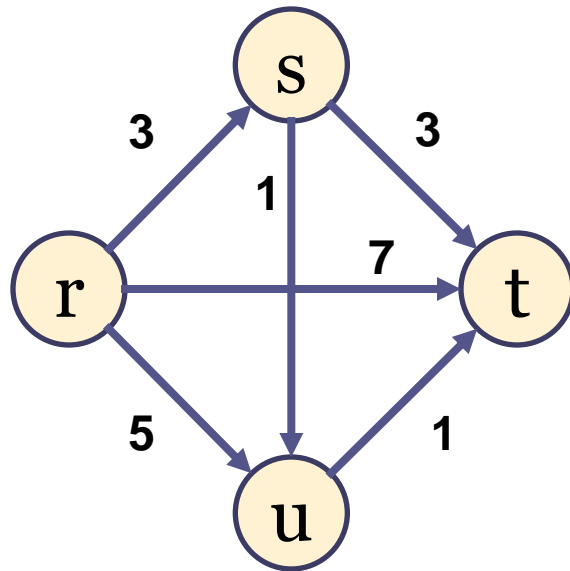
$(s, u)$

$(u, t)$

$(r, t)$

$(r, s)$

$(r, u)$



variável	valor
$i$	1

vértice	r	s	t	u
$d$	0	$\infty$	$\infty$	$\infty$
$\pi$	NULL	NULL	NULL	NULL

*BELLMAN – FORD* $(G = (V, A), w, s)$

*INICIALIZA* $(G, s)$

*para*  $i \leftarrow 1$  *até*  $|V| - 1$

 *para cada aresta*  $(u, v) \in A$

*RELAXA* $(u, v, w)$

*fim para*

*fim para*

*para cada aresta*  $(u, v) \in A$

*se*  $d[v] > d[u] + w(u, v)$

*retorna falso*

*fim se*

*fim para*

*retorna verdadeiro*

*fim*



# Algoritmo de Bellman-Ford

$(s, t)$

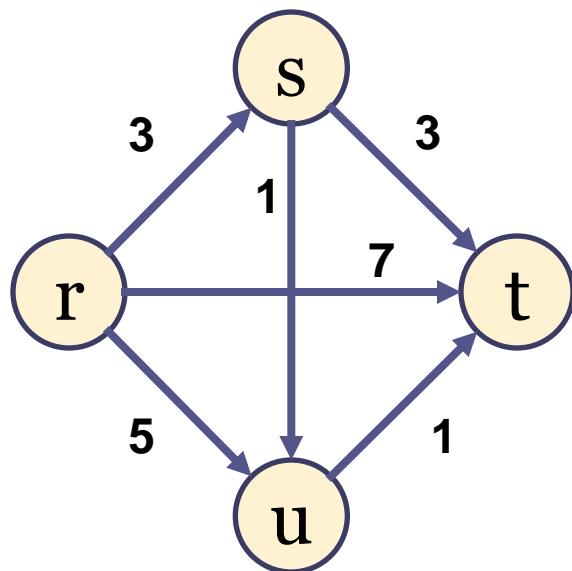
$(s, u)$

$(u, t)$

$(r, t)$

$(r, s)$

$(r, u)$



variável	valor
$i$	1

vértice	r	s	t	u
$d$	0	$\infty$	$\infty$	$\infty$
$\pi$	NULL	NULL	NULL	NULL

*BELLMAN – FORD*( $G = (V, A), w, s$ )

*INICIALIZA*( $G, s$ )

*para*  $i \leftarrow 1$  *até*  $|V| - 1$

**→** *para cada aresta*  $(u, v) \in A$

**→** *RELAXA*( $u, v, w$ )

*fim para*

*fim para*

*para cada aresta*  $(u, v) \in A$

*se*  $d[v] > d[u] + w(u, v)$

*retorna falso*

*fim se*

*fim para*

*retorna verdadeiro*

*fim*

# Algoritmo de Bellman-Ford

$(s, t)$

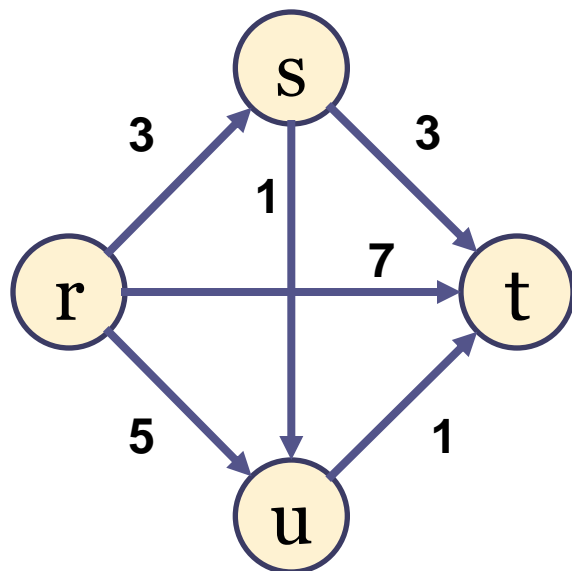
$(s, u)$

$(u, t)$

$(r, t)$

$(r, s)$

$(r, u)$



variável	valor
$i$	1

vértice	r	s	t	u
$d$	0	$\infty$	$\infty$	$\infty$
$\pi$	NULL	NULL	NULL	NULL

*BELLMAN – FORD* $(G = (V, A), w, s)$

*INICIALIZA* $(G, s)$

*para*  $i \leftarrow 1$  *até*  $|V| - 1$

**→** *para cada aresta*  $(u, v) \in A$

**→** *RELAXA* $(u, v, w)$

*fim para*

*fim para*

*para cada aresta*  $(u, v) \in A$

*se*  $d[v] > d[u] + w(u, v)$

*retorna falso*

*fim se*

*fim para*

*retorna verdadeiro*

*fim*

# Algoritmo de Bellman-Ford

$(s, t)$

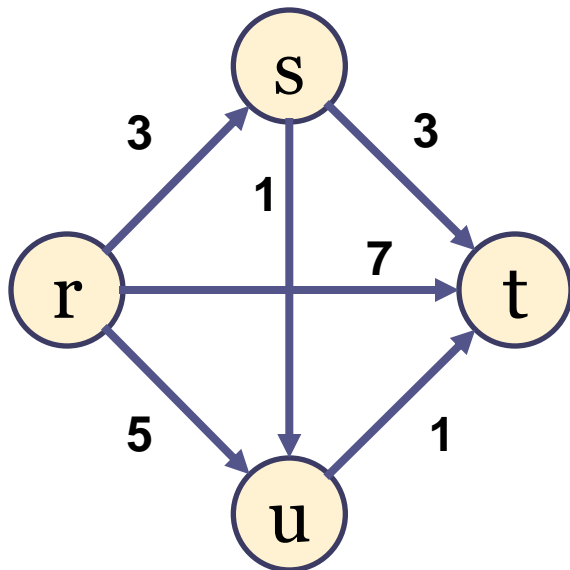
$(s, u)$

$(u, t)$

$(r, t)$

$(r, s)$

$(r, u)$



variável	valor
$i$	1

vértice	r	s	t	u
$d$	0	$\infty$	$\infty$	$\infty$
$\pi$	NULL	NULL	NULL	NULL

*BELLMAN – FORD* $(G = (V, A), w, s)$

*INICIALIZA* $(G, s)$

*para*  $i \leftarrow 1$  *até*  $|V| - 1$

**→** *para cada aresta*  $(u, v) \in A$

**→** *RELAXA* $(u, v, w)$

*fim para*

*fim para*

*para cada aresta*  $(u, v) \in A$

*se*  $d[v] > d[u] + w(u, v)$

*retorna falso*

*fim se*

*fim para*

*retorna verdadeiro*

*fim*

# Algoritmo de Bellman-Ford

$(s, t)$

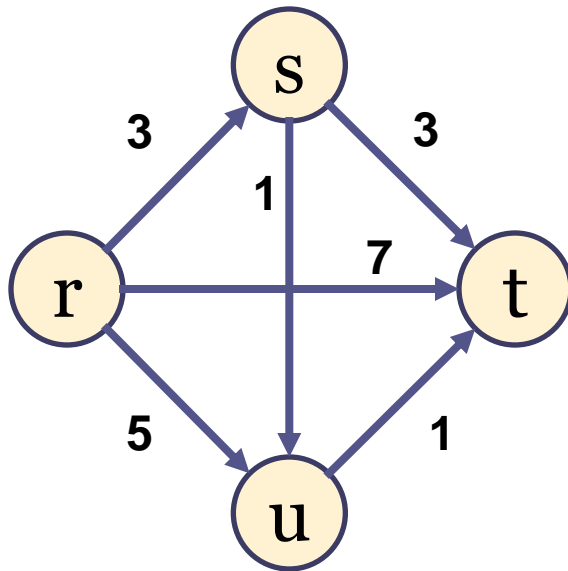
$(s, u)$

$(u, t)$

$(r, t)$

$(r, s)$

$(r, u)$



variável	valor
$i$	1

vértice	r	s	t	u
$d$	0	$\infty$	7	$\infty$
$\pi$	NULL	NULL	r	NULL

*BELLMAN – FORD* $(G = (V, A), w, s)$

*INICIALIZA* $(G, s)$

*para*  $i \leftarrow 1$  *até*  $|V| - 1$

**→** *para cada aresta*  $(u, v) \in A$

**→** *RELAXA* $(u, v, w)$

*fim para*

*fim para*

*para cada aresta*  $(u, v) \in A$

*se*  $d[v] > d[u] + w(u, v)$

*retorna falso*

*fim se*

*fim para*

*retorna verdadeiro*

*fim*

# Algoritmo de Bellman-Ford

$(s, t)$

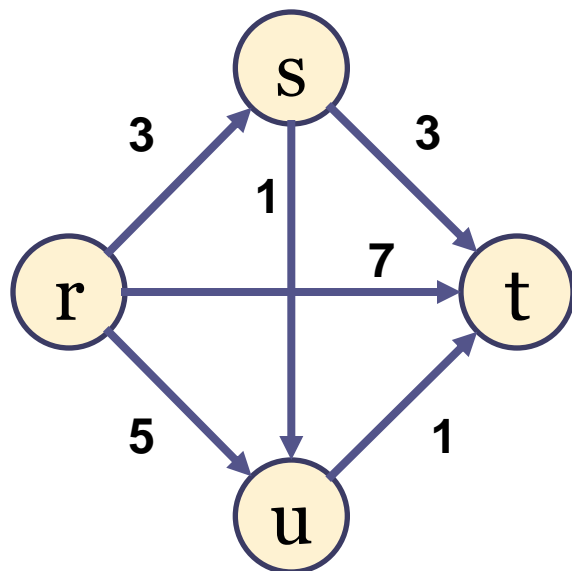
$(s, u)$

$(u, t)$

$(r, t)$

$(r, s)$

$(r, u)$



variável	valor
$i$	1

vértice	r	s	t	u
$d$	0	3	7	$\infty$
$\pi$	NULL	r	r	NULL

*BELLMAN – FORD* $(G = (V, A), w, s)$

*INICIALIZA* $(G, s)$

*para*  $i \leftarrow 1$  *até*  $|V| - 1$

**→** *para cada aresta*  $(u, v) \in A$

**→** *RELAXA* $(u, v, w)$

*fim para*

*fim para*

*para cada aresta*  $(u, v) \in A$

*se*  $d[v] > d[u] + w(u, v)$

*retorna falso*

*fim se*

*fim para*

*retorna verdadeiro*

*fim*

# Algoritmo de Bellman-Ford

$(s, t)$

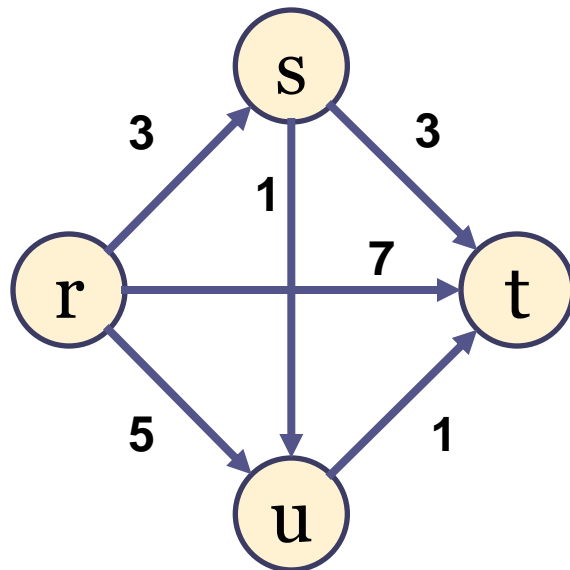
$(s, u)$

$(u, t)$

$(r, t)$

$(r, s)$

$(r, u)$



variável	valor
$i$	1

vértice	r	s	t	u
$d$	0	3	7	5
$\pi$	NULL	r	r	r

*BELLMAN – FORD* $(G = (V, A), w, s)$

*INICIALIZA* $(G, s)$

*para*  $i \leftarrow 1$  *até*  $|V| - 1$

**→** *para cada aresta*  $(u, v) \in A$

**→** *RELAXA* $(u, v, w)$

*fim para*

*fim para*

*para cada aresta*  $(u, v) \in A$

*se*  $d[v] > d[u] + w(u, v)$

*retorna falso*

*fim se*

*fim para*

*retorna verdadeiro*

*fim*

# Algoritmo de Bellman-Ford

$(s, t)$

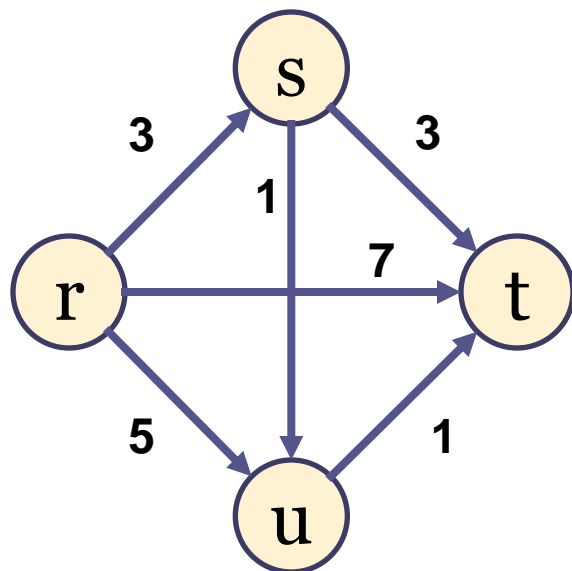
$(s, u)$

$(u, t)$

$(r, t)$

$(r, s)$

$(r, u)$



variável	valor
$i$	2

vértice	r	s	t	u
$d$	0	3	7	5
$\pi$	NULL	r	r	r

$BELLMAN - FORD(G = (V, A), w, s)$

$INICIALIZA(G, s)$

$\text{para } i \leftarrow 1 \text{ até } |V| - 1$

$\text{para cada aresta } (u, v) \in A$

$RELAXA(u, v, w)$

$\text{fim para}$

$\text{fim para}$

$\text{para cada aresta } (u, v) \in A$

$\text{se } d[v] > d[u] + w(u, v)$

$\text{retorna falso}$

$\text{fim se}$

$\text{fim para}$

$\text{retorna verdadeiro}$

$\text{fim}$

# Algoritmo de Bellman-Ford

$(s, t)$

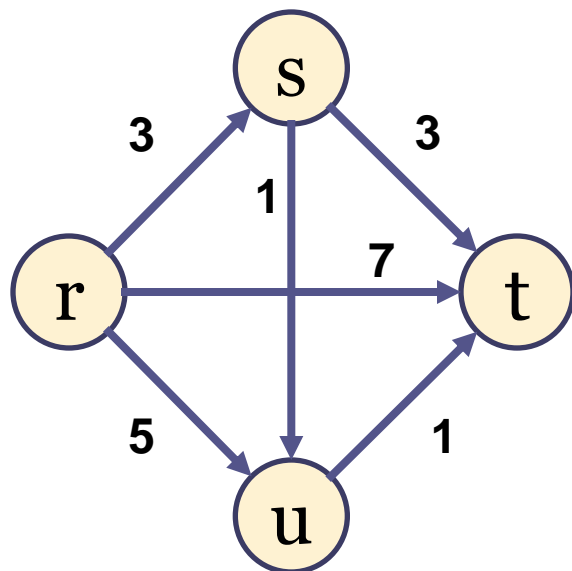
$(s, u)$

$(u, t)$

$(r, t)$

$(r, s)$

$(r, u)$



variável	valor
$i$	2

vértice	r	s	t	u
$d$	0	3	6	5
$\pi$	NULL	r	s	r

*BELLMAN – FORD*( $G = (V, A), w, s$ )

*INICIALIZA*( $G, s$ )

*para*  $i \leftarrow 1$  *até*  $|V| - 1$

**→** *para cada aresta*  $(u, v) \in A$

**→** *RELAXA*( $u, v, w$ )

*fim para*

*fim para*

*para cada aresta*  $(u, v) \in A$

*se*  $d[v] > d[u] + w(u, v)$

*retorna falso*

*fim se*

*fim para*

*retorna verdadeiro*

*fim*



# Algoritmo de Bellman-Ford

$(s, t)$

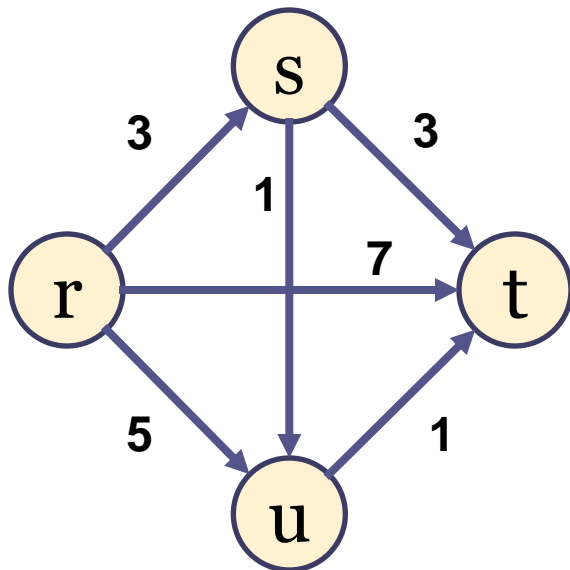
$(s, u)$

$(u, t)$

$(r, t)$

$(r, s)$

$(r, u)$



variável	valor
$i$	2

vértice	r	s	t	u
$d$	0	3	6	4
$\pi$	NULL	r	s	s

*BELLMAN – FORD* $(G = (V, A), w, s)$

*INICIALIZA* $(G, s)$

*para*  $i \leftarrow 1$  *até*  $|V| - 1$

**→** *para cada aresta*  $(u, v) \in A$

**→** *RELAXA* $(u, v, w)$

*fim para*

*fim para*

*para cada aresta*  $(u, v) \in A$

*se*  $d[v] > d[u] + w(u, v)$

*retorna falso*

*fim se*

*fim para*

*retorna verdadeiro*

*fim*

# Algoritmo de Bellman-Ford

$(s, t)$

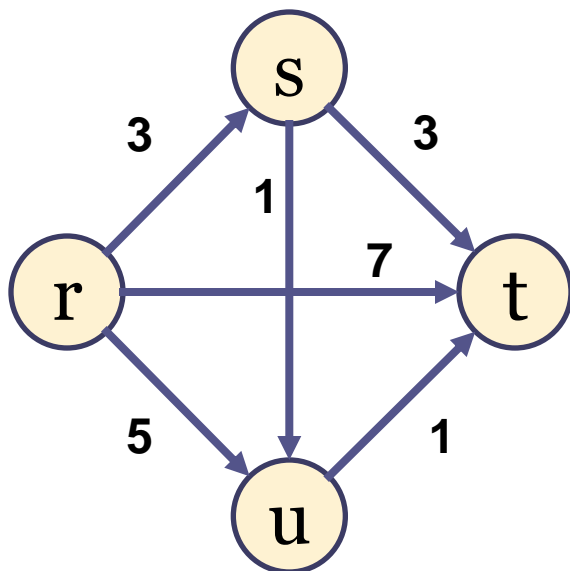
$(s, u)$

$(u, t)$

$(r, t)$

$(r, s)$

$(r, u)$



variável	valor
$i$	2

vértice	r	s	t	u
$d$	0	3	5	4
$\pi$	NULL	r	u	s

*BELLMAN – FORD* $(G = (V, A), w, s)$

*INICIALIZA* $(G, s)$

*para*  $i \leftarrow 1$  *até*  $|V| - 1$

**→** *para cada aresta*  $(u, v) \in A$

**→** *RELAXA* $(u, v, w)$

*fim para*

*fim para*

*para cada aresta*  $(u, v) \in A$

*se*  $d[v] > d[u] + w(u, v)$

*retorna falso*

*fim se*

*fim para*

*retorna verdadeiro*

*fim*

# Algoritmo de Bellman-Ford

$(s, t)$

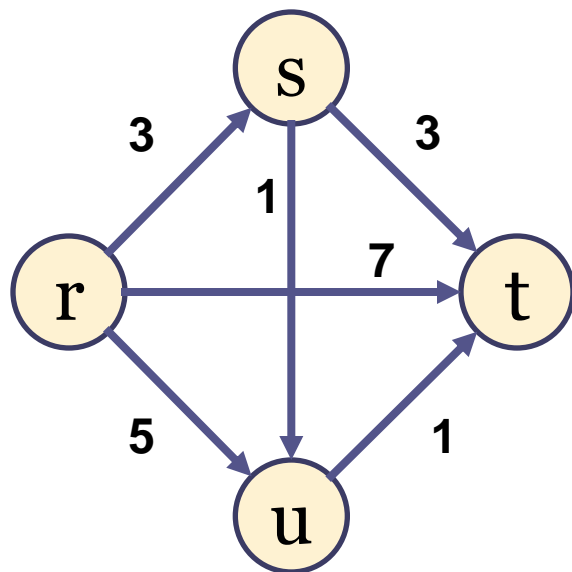
$(s, u)$

$(u, t)$

$(r, t)$

$(r, s)$

$(r, u)$



variável	valor
$i$	2

vértice	r	s	t	u
$d$	0	3	5	4
$\pi$	NULL	r	u	s

*BELLMAN – FORD* $(G = (V, A), w, s)$

*INICIALIZA* $(G, s)$

*para*  $i \leftarrow 1$  *até*  $|V| - 1$

**→** *para cada aresta*  $(u, v) \in A$

**→** *RELAXA* $(u, v, w)$

*fim para*

*fim para*

*para cada aresta*  $(u, v) \in A$

*se*  $d[v] > d[u] + w(u, v)$

*retorna falso*

*fim se*

*fim para*

*retorna verdadeiro*

*fim*

# Algoritmo de Bellman-Ford

$(s, t)$

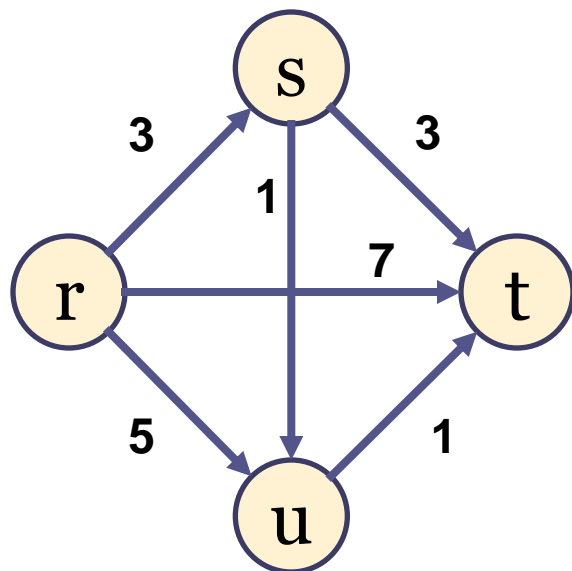
$(s, u)$

$(u, t)$

$(r, t)$

$(r, s)$

$(r, u)$



variável	valor
$i$	2

vértice	r	s	t	u
$d$	0	3	5	4
$\pi$	NULL	r	u	s

*BELLMAN – FORD* $(G = (V, A), w, s)$

*INICIALIZA* $(G, s)$

*para*  $i \leftarrow 1$  *até*  $|V| - 1$

**→** *para cada aresta*  $(u, v) \in A$

**→** *RELAXA* $(u, v, w)$

*fim para*

*fim para*

*para cada aresta*  $(u, v) \in A$

*se*  $d[v] > d[u] + w(u, v)$

*retorna falso*

*fim se*

*fim para*

*retorna verdadeiro*

*fim*

# Algoritmo de Bellman-Ford

$(s, t)$

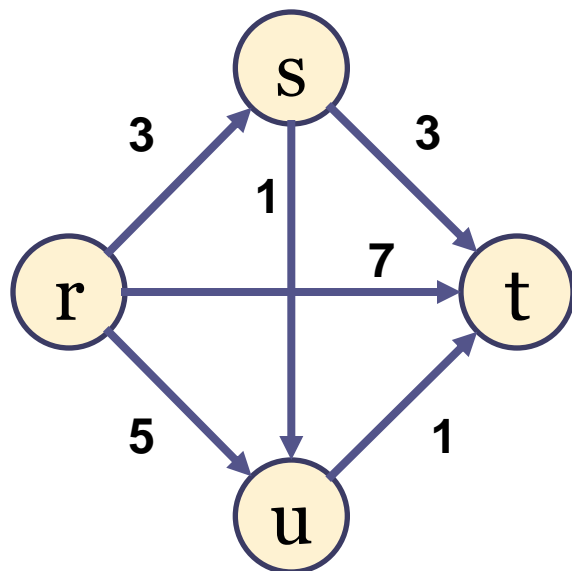
$(s, u)$

$(u, t)$

$(r, t)$

$(r, s)$

$(r, u)$



variável	valor
$i$	2

vértice	r	s	t	u
$d$	0	3	5	4
$\pi$	NULL	r	u	s

*BELLMAN – FORD* $(G = (V, A), w, s)$

*INICIALIZA* $(G, s)$

*para*  $i \leftarrow 1$  *até*  $|V| - 1$

**→** *para cada aresta*  $(u, v) \in A$

**→** *RELAXA* $(u, v, w)$

*fim para*

*fim para*

*para cada aresta*  $(u, v) \in A$

*se*  $d[v] > d[u] + w(u, v)$

*retorna falso*

*fim se*

*fim para*

*retorna verdadeiro*

*fim*

# Algoritmo de Bellman-Ford

$(s, t)$

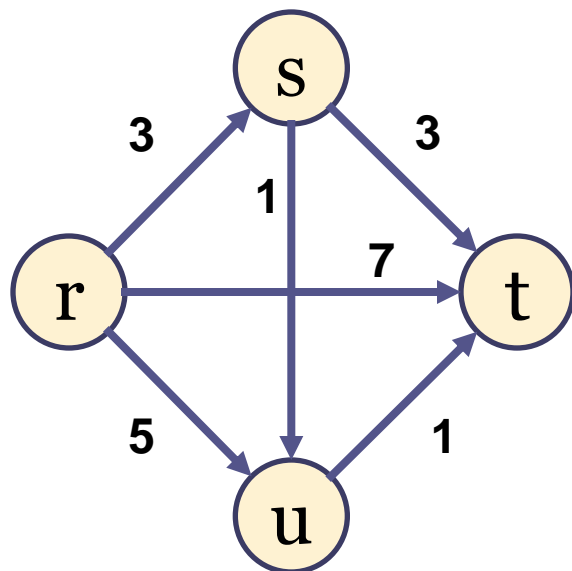
$(s, u)$

$(u, t)$

$(r, t)$

$(r, s)$

$(r, u)$



variável	valor
$i$	3

vértice	r	s	t	u
$d$	0	3	5	4
$\pi$	NULL	r	u	s

$BELLMAN - FORD(G = (V, A), w, s)$

$INICIALIZA(G, s)$

→ para  $i \leftarrow 1$  até  $|V| - 1$

para cada aresta  $(u, v) \in A$

$RELAXA(u, v, w)$

fim para

fim para

para cada aresta  $(u, v) \in A$

se  $d[v] > d[u] + w(u, v)$

retorna falso

fim se

fim para

retorna verdadeiro

fim

# Algoritmo de Bellman-Ford

$(s, t)$

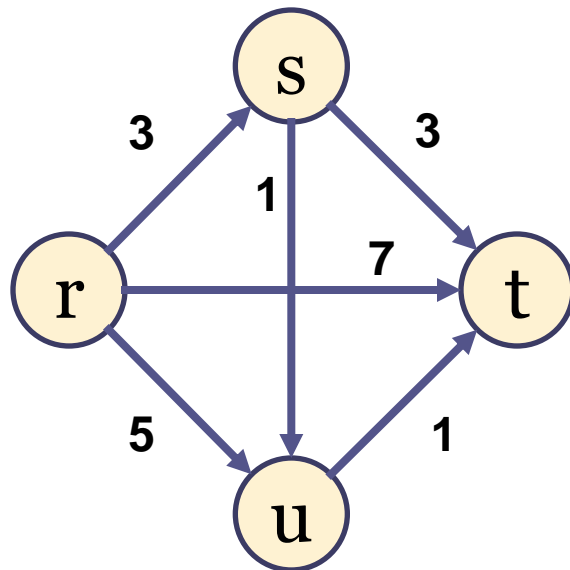
$(s, u)$

$(u, t)$

$(r, t)$

$(r, s)$

$(r, u)$



variável	valor
$i$	3

vértice	r	s	t	u
$d$	0	3	5	4
$\pi$	NULL	r	u	s

*BELLMAN – FORD*( $G = (V, A), w, s$ )

*INICIALIZA*( $G, s$ )

*para*  $i \leftarrow 1$  *até*  $|V| - 1$

**→** *para cada aresta*  $(u, v) \in A$

**→** *RELAXA*( $u, v, w$ )

*fim para*

*fim para*

*para cada aresta*  $(u, v) \in A$

*se*  $d[v] > d[u] + w(u, v)$

*retorna falso*

*fim se*

*fim para*

*retorna verdadeiro*

*fim*

# Algoritmo de Bellman-Ford

$(s, t)$

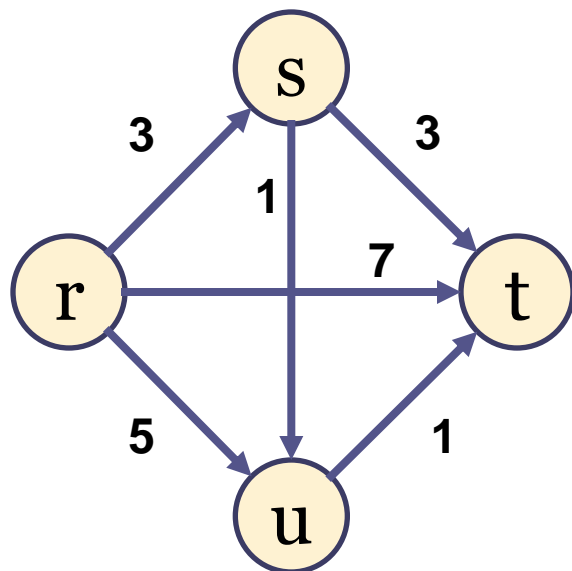
$(s, u)$

$(u, t)$

$(r, t)$

$(r, s)$

$(r, u)$



variável	valor
$i$	3

vértice	r	s	t	u
d	0	3	5	4
$\pi$	NULL	r	u	s

*BELLMAN – FORD*( $G = (V, A), w, s$ )

*INICIALIZA*( $G, s$ )

*para*  $i \leftarrow 1$  *até*  $|V| - 1$

**→** *para cada aresta*  $(u, v) \in A$

**→** *RELAXA*( $u, v, w$ )

*fim para*

*fim para*

*para cada aresta*  $(u, v) \in A$

*se*  $d[v] > d[u] + w(u, v)$

*retorna falso*

*fim se*

*fim para*

*retorna verdadeiro*

*fim*



# Algoritmo de Bellman-Ford

$(s, t)$

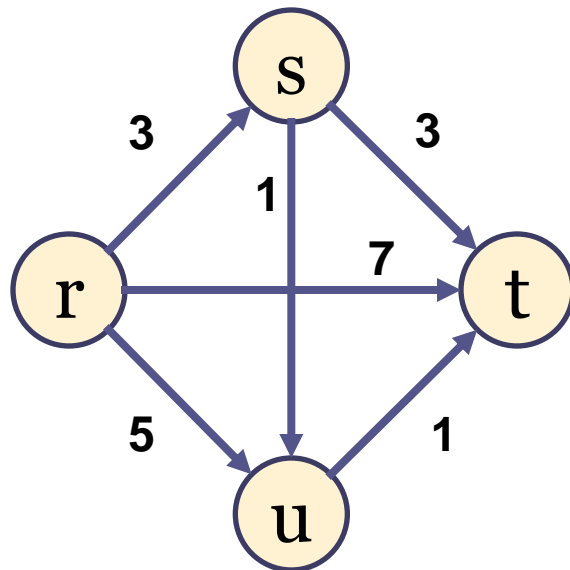
$(s, u)$

$(u, t)$

$(r, t)$

$(r, s)$

$(r, u)$



variável	valor
$i$	3

vértice	r	s	t	u
$d$	0	3	5	4
$\pi$	NULL	r	u	s

*BELLMAN – FORD*( $G = (V, A), w, s$ )

*INICIALIZA*( $G, s$ )

*para*  $i \leftarrow 1$  *até*  $|V| - 1$

**→** *para cada aresta*  $(u, v) \in A$

**→** *RELAXA*( $u, v, w$ )

*fim para*

*fim para*

*para cada aresta*  $(u, v) \in A$

*se*  $d[v] > d[u] + w(u, v)$

*retorna falso*

*fim se*

*fim para*

*retorna verdadeiro*

*fim*

# Algoritmo de Bellman-Ford

$(s, t)$

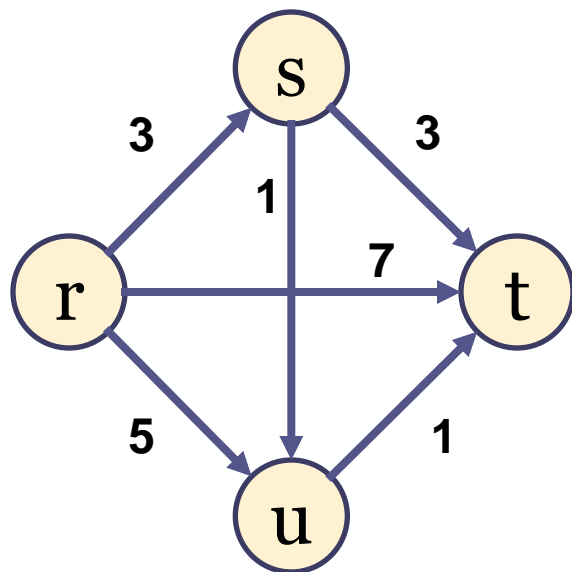
$(s, u)$

$(u, t)$

$(r, t)$

$(r, s)$

$(r, u)$



variável	valor
$i$	3

vértice	r	s	t	u
$d$	0	3	5	4
$\pi$	NULL	r	u	s

*BELLMAN – FORD* ( $G = (V, A), w, s$ )

*INICIALIZA* ( $G, s$ )

*para*  $i \leftarrow 1$  *até*  $|V| - 1$

**→** *para cada aresta*  $(u, v) \in A$

**→** *RELAXA* ( $u, v, w$ )

*fim para*

*fim para*

*para cada aresta*  $(u, v) \in A$

*se*  $d[v] > d[u] + w(u, v)$

*retorna falso*

*fim se*

*fim para*

*retorna verdadeiro*

*fim*

# Algoritmo de Bellman-Ford

$(s, t)$

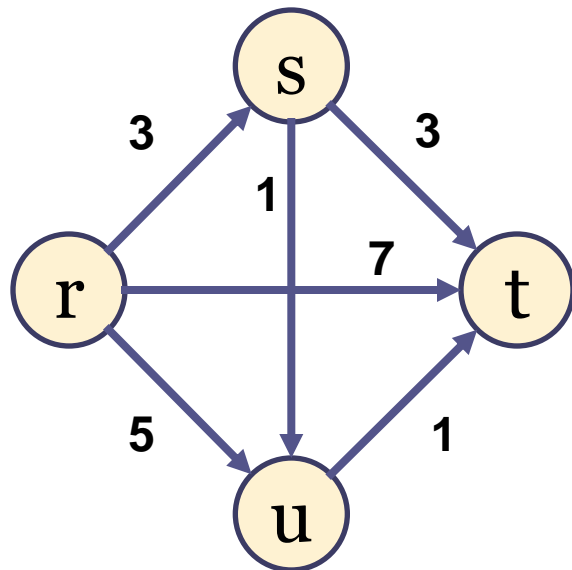
$(s, u)$

$(u, t)$

$(r, t)$

$(r, s)$

$(r, u)$



variável	valor
$i$	3

vértice	r	s	t	u
$d$	0	3	5	4
$\pi$	NULL	r	u	s

*BELLMAN – FORD* $(G = (V, A), w, s)$

*INICIALIZA* $(G, s)$

*para*  $i \leftarrow 1$  *até*  $|V| - 1$

**→** *para cada aresta*  $(u, v) \in A$

**→** *RELAXA* $(u, v, w)$

*fim para*

*fim para*

*para cada aresta*  $(u, v) \in A$

*se*  $d[v] > d[u] + w(u, v)$

*retorna falso*

*fim se*

*fim para*

*retorna verdadeiro*

*fim*

# Algoritmo de Bellman-Ford

$(s, t)$

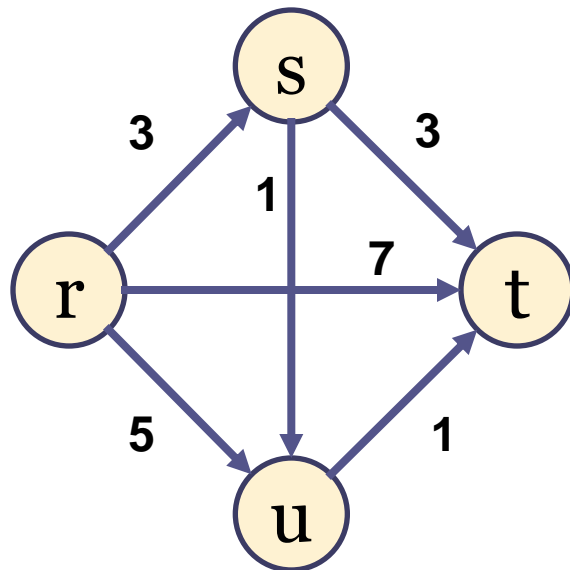
$(s, u)$

$(u, t)$

$(r, t)$

$(r, s)$

$(r, u)$



variável	valor
$i$	3

vértice	r	s	t	u
$d$	0	3	5	4
$\pi$	NULL	r	u	s

*BELLMAN – FORD* $(G = (V, A), w, s)$

*INICIALIZA* $(G, s)$

*para*  $i \leftarrow 1$  *até*  $|V| - 1$

**→** *para cada aresta*  $(u, v) \in A$

**→** *RELAXA* $(u, v, w)$

*fim para*

*fim para*

*para cada aresta*  $(u, v) \in A$

*se*  $d[v] > d[u] + w(u, v)$

*retorna falso*

*fim se*

*fim para*

*retorna verdadeiro*

*fim*

# Algoritmo de Bellman-Ford

$(s, t)$

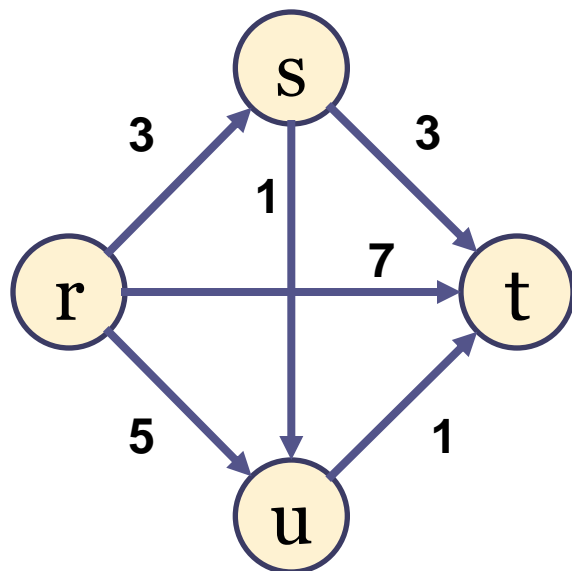
$(s, u)$

$(u, t)$

$(r, t)$

$(r, s)$

$(r, u)$



variável	valor
$i$	3

vértice	r	s	t	u
$d$	0	3	5	4
$\pi$	NULL	r	u	s

*BELLMAN – FORD*( $G = (V, A), w, s$ )

*INICIALIZA*( $G, s$ )


*para*  $i \leftarrow 1$  *até*  $|V| - 1$

*para cada aresta*  $(u, v) \in A$

*RELAXA*( $u, v, w$ )

*fim para*

*fim para*

 *para cada aresta*  $(u, v) \in A$

*se*  $d[v] > d[u] + w(u, v)$

*retorna falso*

*fim se*

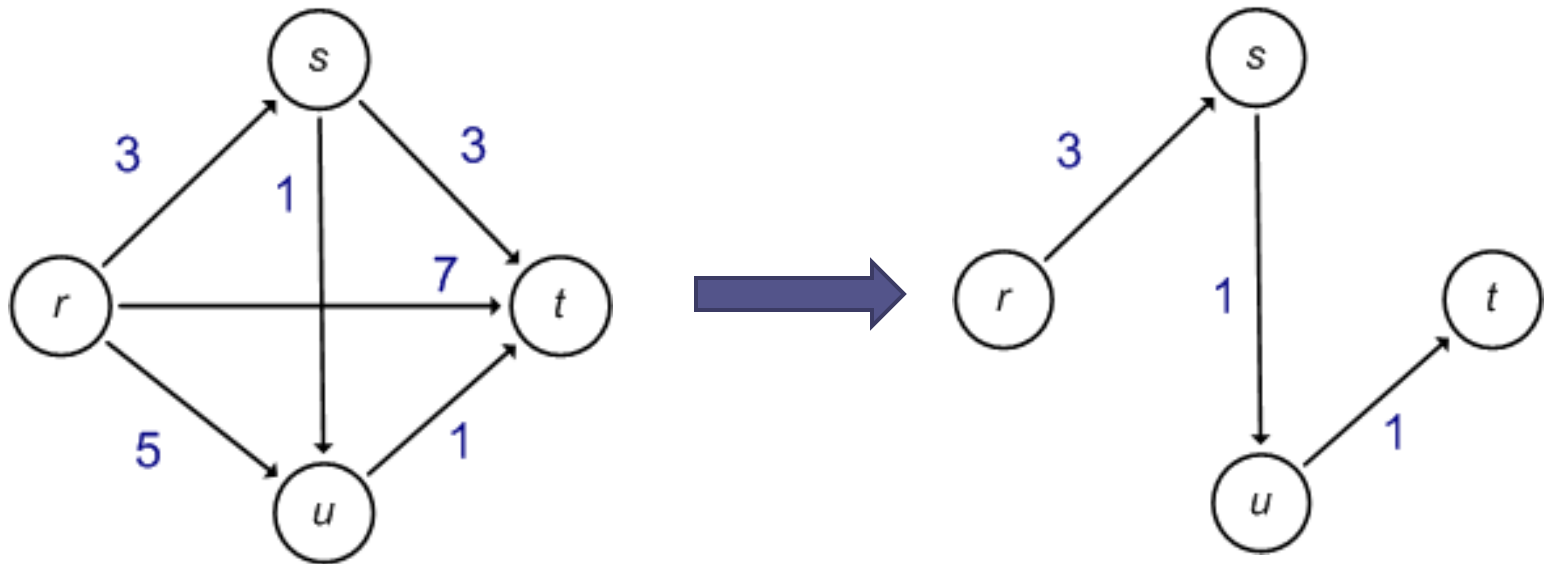
*fim para*

*retorna verdadeiro*

*fim*

# Algoritmo de Bellman-Ford

- Solução do exemplo...



vértice	r	s	t	u
d	0	3	5	4
$\pi$	NULL	r	u	s

# Bellman-Ford

- **Aplicação:**

- Uma variação **distribuída** deste algoritmo é implementada na área de redes de computadores;
- O algoritmo de roteamento chamado **vetor de distâncias**;
- Seu objetivo é fornecer informação para cada *host* que deseja enviar pacotes (criar tabelas de encaminhamento);
- Por qual saída ele deve enviar um pacote de modo que o mesmo chegue rapidamente ao destinatário;

# Bellman-Ford

- Aplicação:
  - Na área de redes de computadores devemos **tomar cuidado com os “caminhos mais curtos”**, ou os “caminhos de maior vazão”;
  - Podemos **congestionar** a toda a rede se, na execução do Algoritmo do Vetor de Distâncias, um **host se tornar o “gargalo” da rede**.
  - Geralmente este problema é “resolvido” no protocolo TCP;



# Exercício

- Proponha um grafo de 5 vértices, com um ciclo de peso negativo, e apresente passo a passo a execução do algoritmo Bellman-Ford.

# Bibliografia

- CORMEN, T. H.; LEISERSON, C. E.; RIVEST, R. L.; (2002). Algoritmos – Teoria e Prática. Tradução da 2ª edição americana. Rio de Janeiro. Editora Campus.
- ZIVIANI, N. (2007). Projeto e Algoritmos com implementações em Java e C++. São Paulo. Editora Thomson;

